

Свойства контактов Мотта с ультрамалым барьером металл–полупроводник

© В.И. Шашкин, А.В. Мурель

Институт физики микроструктур Российской академии наук,
603000 Нижний Новгород, Россия

E-mail: sha@ipm.sci-nnov.ru

(Поступила в Редакцию 11 февраля 2008 г.)

Исследованы вольт-амперные и емкостные характеристики контактов Мотта с ультрамалым барьером металл–полупроводник. Анализ основан на аналитическом решении уравнения Пуассона для пространственного заряда носителей тока в структуре металл–*i*-слой– n^+ -подложка при пренебрежении объемным легированием *i*-слоя. Для контактов с ультрамалыми барьерами (сравнимыми с тепловой энергией носителей) показано, что ток обратной ветви становится больше прямого, меняется знак детектирования, а емкость контакта приобретает сильную зависимость от напряжения. Это означает, что происходит смена механизма нелинейности структуры и определяющей становится нелинейность, обусловленная носителями тока, инжектированными в *i*-слой. В определенном диапазоне смещений вблизи нуля дифференциальное сопротивление и емкость структуры экспоненциально возрастают с напряжением, что является нетипичным для обычных контактов металл–полупроводник. Полученные зависимости тока и емкости от напряжения определяют характеристики новых перспективных приборов, в частности чувствительных микроволновых детекторов, работающих без смещения.

PACS: 73.30.+y, 73.63.-b, 73.40.Ei, 73.40.Sx

1. Введение

Модель контакта Мотта, в которой на границе с металлом имеется промежуточный нелегированный *i*-слой, была предложена в работах [1,2] и сыграла значимую роль в понимании явлений при контакте металла и полупроводника [3]. В недавней работе авторов [4] при анализе вольт-амперных характеристик (ВАХ) контактов с барьером Мотта была учтена неоднородность электрического поля в *i*-слое из-за пространственного заряда свободных носителей. На основе строгого решения одномерного уравнения Пуассона для потенциала были рассчитаны токи в термоэмиссионном и диффузионном приближениях. Было показано, что эффекты пространственного заряда носителей тока приводят к сильным изменениям ВАХ для контактов с малой высотой барьера $\Delta < 0.4$ eV. Вместе с тем именно низкобарьерные контакты без приложения напряжения смещения обеспечивают высокую чувствительность при детектировании сигналов миллиметрового диапазона длин волн [5,6]. В настоящей работе проводится подробный анализ вольт-амперных характеристик и зависимости емкости от напряжения контактов Мотта с ультрамалыми высотами барьеров, сравнимыми с тепловой энергией носителей тока.

2. Метод расчета потенциала, емкости и тока контакта с барьером Мотта

Рассматриваются структура металл–нелегированный слой полупроводника толщиной D –сильно легированная n^+ -подложка. Координата x отсчитывается от границы с металлом в глубь полупроводника. Решается уравнение

Пуассона для потенциала $f(x)$

$$\frac{d^2 f}{dx^2} = \frac{4\pi q}{\epsilon} (n - N), \quad (1)$$

где $n = N_D \exp(qf/kT)$ — концентрация электронов, N — плотность ионизированных доноров ($N = 0$ при $x < D$, $N = N_D$ при $x > D$), ϵ — относительная диэлектрическая проницаемость. Граничные условия имеют вид $f = 0$ и $df/dx = 0$ при $x = +\infty$; f и df/dx — непрерывные функции при $x = D$. Подробно метод расчета приведен в работе [4]. Основная идея заключается в сшивании потенциала и его производной на границе слоев $i-n^+$ и в использовании значения потенциала в этой точке $f(D)$ в качестве свободного параметра. Применяются безразмерные переменные $\hat{f} = qf/kT$, $\hat{V} = qV/kT$, $\hat{x} = x/r_d$, $\hat{D} = D/r_d$ ($r_d = \sqrt{\epsilon kT/4\pi q^2 N_D}$ — дебаевская длина), при этом решение имеет следующий вид:

$$\hat{f}(\hat{x}) = \ln \left[\frac{4bF \exp(\sqrt{2b}(\hat{D} - \hat{x}))}{[F \exp(\sqrt{2b}(\hat{D} - \hat{x})) - 1]^2} \right], \quad (2)$$

$$F = \left[\sqrt{b \exp(b+1) + 1} + \sqrt{b \exp(b+1)} \right]^2 \quad (3)$$

при условии, что $b = -\hat{f}(\hat{D}) - 1 > 0$;

$$\hat{f}(\hat{x}) = \ln \left[\frac{-b}{\sin^2(\sqrt{-b/2}(\hat{D} - \hat{x}) + \theta)} \right], \quad (4)$$

$$\theta = \arcsin \sqrt{-b \exp(b+1)} \quad (5)$$

при $b = -\hat{f}(\hat{D}) - 1 < 0$. Для выделенного значения $\hat{f}(\hat{D}) = -1$ ($b = 0$) решение опускаем.

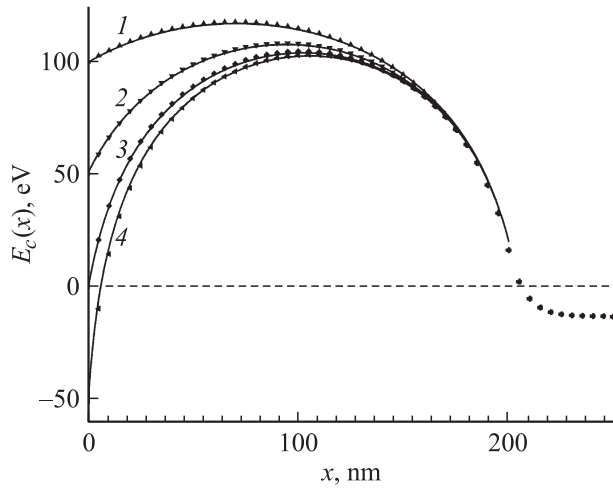


Рис. 1. Профиль дна зоны проводимости $E_c(x)$ при нулевом напряжении смещения контакта Мотта с различной эффективной высотой барьера Δ , meV: 1 — 100, 2 — 50, 3 — 0, 4 — -50. $D = 200$ nm, $N_D = 5 \cdot 10^{17}$ cm $^{-3}$, $T = 300$ K. Сплошные линии — аналитический расчет, точки — численный расчет по программе Sim Windows [11].

Приложенное напряжение V определяется разностью химических потенциалов полупроводника и металла, откуда получаем

$$\hat{V} = \hat{f}(0) + \hat{\Delta} + \hat{\chi}, \quad (6)$$

где $\hat{\Delta} = \Delta/kT$ — нормированная высота барьера металл-полупроводник (реальная или эффективная), $\hat{\chi} = \chi/kT$, $\chi = kT \ln(N_D/N_c)$, $N_c = 2(2\pi m_c kT/h^2)$ — эффективная плотность состояний. В дальнейшем под Δ понимаем эффективную высоту барьера, которая может изменяться в широких пределах за счет δ -легирования полупроводника вблизи границы с металлом [7,8]. Показано [8,9], что при правильно выбранных параметрах легирования модификация свойств барьера заключается в замене реальной высоты барьера Шоттки его эффективным значением Δ . Величина Δ может быть снижена до нуля и даже формально принимать отрицательные значения, если легирование настолько сильное, что δ -слой не обеднен и вероятность туннельных переходов между металлом и δ -слоем велика. Этот случай соответствует формированию неупругого омического контакта с металлом [7,10]. На рис. 1 приведены расчетные зависимости хода края зоны проводимости $E_c(x)$ при нулевых напряжениях. Выбраны следующие значения: $\Delta = 100, 50, 0$ и -50 meV, $D = 200$ nm, $N_D = 5 \cdot 10^{17}$ cm $^{-3}$, $T = 300$ K; остальные параметры здесь и далее отвечают арсениду галлия [3]. Видно, что поле существенно неоднородно и меняет знак внутри i -слоя, что связано с высокой концентрацией носителей, инжектированных в структуру при тепловом равновесии. При снижении эффективной высоты барьера Δ приближение статистики Больцмана по-прежнему обеспечивает достаточную точность расчетов. Об этом

свидетельствует хорошее совпадение $E_c(x)$ с результатами численных расчетов по программе Sim Windows [11], использующей вырожденную статистику (данные представлены точками).

Используя решение для потенциалов, легко найти величину электрического поля на границе с металлом, заряд в области контакта $Q = \epsilon f'_x(x)/4\pi$ и емкость на единицу площади $C = dQ/dV$. Опуская простые, но достаточно громоздкие вычисления, приведем окончательный ответ:

$$C = \frac{\epsilon}{4\sqrt{2}\pi r_d} \frac{\exp(\hat{V} - \hat{\chi} - \hat{\Delta}) - (d\hat{V}/d\hat{f}(\hat{D}))^{-1}}{\sqrt{\exp(\hat{V} - \hat{\chi} - \hat{\Delta}) - \hat{f}(\hat{D}) - 1}}, \quad (7)$$

$$\frac{d\hat{V}}{d\hat{f}(\hat{D})} = -\frac{1}{b} + \left(\frac{2(b+1)}{(F-1)\exp(-b-1) - 2b} + \frac{\hat{D}}{\sqrt{2b}} \right) \times \frac{F \exp(\sqrt{2b}\hat{D}) + 1}{F \exp(\sqrt{2b}\hat{D}) - 1} \quad (8)$$

при условии, что $b = -\hat{f}(\hat{D}) - 1 > 0$;

$$C = \frac{\epsilon}{4\sqrt{2}\pi r_d} \frac{\exp(\hat{V} - \hat{\chi} - \hat{\Delta}) - (d\hat{V}/d\hat{f}(\hat{D}))^{-1}}{\sqrt{\exp(\hat{V} - \hat{\chi} - \hat{\Delta}) - \hat{f}(\hat{D}) - 1}} \times \text{sign} \left[\frac{\pi}{2} - \sqrt{-\frac{b}{2}} D - \theta \right], \quad (9)$$

$$\frac{d\hat{V}}{d\hat{f}(\hat{D})} = -\frac{1}{b} - \frac{\text{ctg}(\hat{D}\sqrt{-b/2} + \theta)}{\sqrt{-b}} \times \left[\frac{\hat{D}}{\sqrt{2}} + \frac{b+1}{\sqrt{b + \exp(-b-1)}} \right] \quad (10)$$

при $b = -\hat{f}(\hat{D}) - 1 < 0$. При $\sqrt{-\frac{b}{2}} D + \theta > \frac{\pi}{2}$ меняется направление электрического поля на границе с металлом, что требует выбора отрицательного значения корня в знаменателе (9). Одновременно становится отрицательным числитель в (9) и емкость остается положительно определенной. Вычисляя емкость $C(\hat{f}(\hat{D}))$ по формулам (7), (8) или (9), (10) и напряжение $V(\hat{f}(\hat{D}))$ согласно (6) и (2), (3) или (6) и (3), (4), получаем параметрическую связь емкости C и напряжения V .

При вычислении тока рассмотрим только диффузионный режим. Для барьеров с округлой вершиной, представленных на рис. 1, при комнатной температуре этот режим является более вероятным [3,4]. Кроме того, качественное описание в термоэмиссионной модели оказывается похожим. Воспользуемся выражениями для диффузионного тока j из работы [4]

$$j \cong \frac{kT\mu N_c \exp(-\hat{\Delta})(\exp(\hat{V}) - 1)}{D} \times \frac{\exp(-\sqrt{2b}\hat{D})(F \exp(\sqrt{2b}\hat{D}) - 1)^2}{F^2 \frac{\exp(\sqrt{2b}\hat{D}) - 1}{\sqrt{2b}\hat{D}} - 2F + \frac{1 - \exp(-\sqrt{2b}\hat{D})}{\sqrt{2b}\hat{D}}} \quad (11)$$

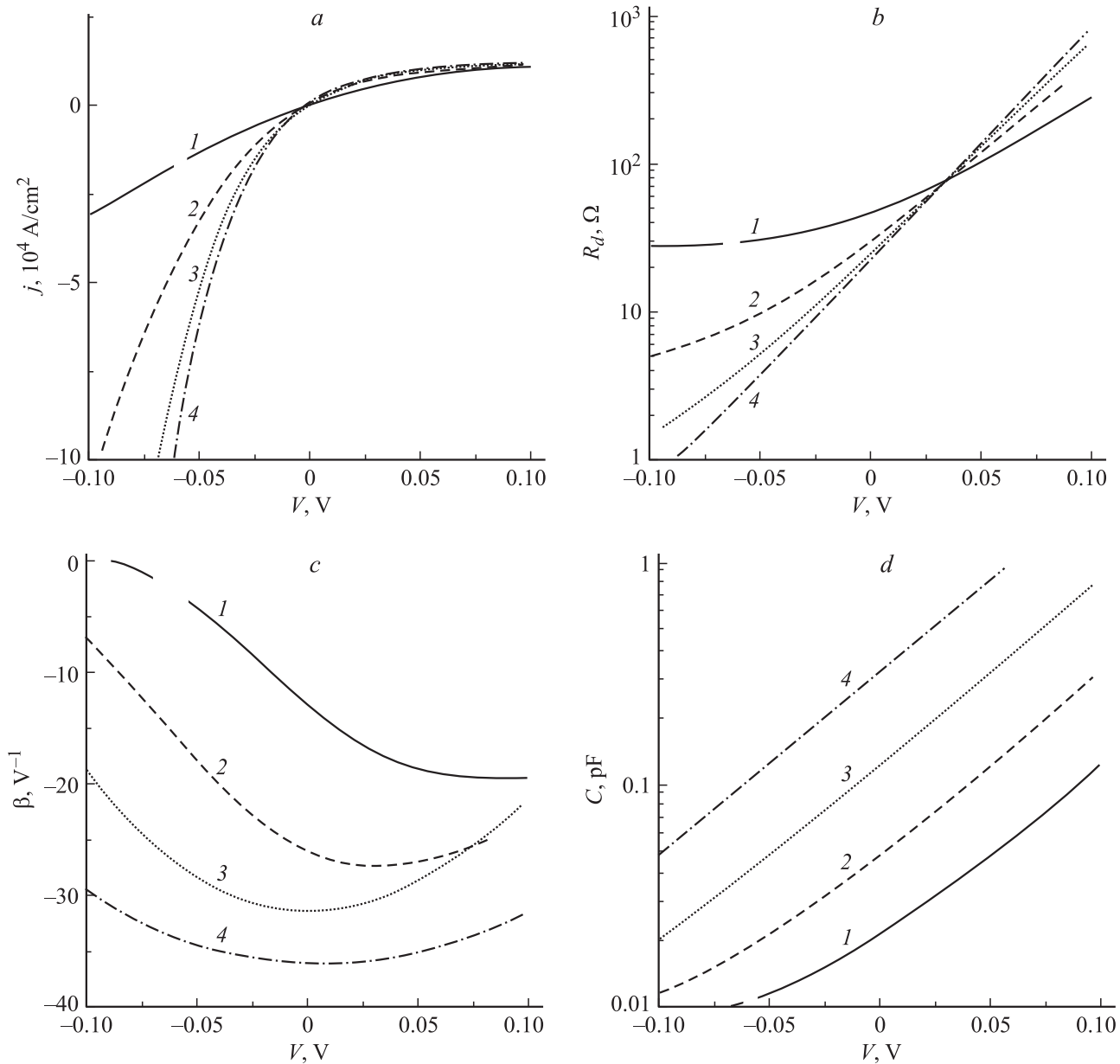


Рис. 2. Рассчитанные характеристики контакта Мотта в зависимости от приложенного смещения при различной эффективной высоте барьера Δ , meV: 1 — 100, 2 — 50, 3 — 0, 4 — -50. *a* — плотность тока, *b* — дифференциальное сопротивление, *c* — коэффициент нелинейности, *d* — емкость. $D = 200$ nm, $N_D = 5 \cdot 10^{17}$ cm $^{-3}$, $T = 300$ K, $S = 10$ μ m 2 .

при условии $b = -\hat{f}(\hat{D}) - 1 > 0$ и

$$j \cong \frac{kT\mu N_c \exp(-\hat{\Delta})(\exp(\hat{V}) - 1)}{D} \times \frac{2 \sin^2(\sqrt{-b/2\hat{D}} + \theta)}{1 - \frac{\sin(\sqrt{-b/2\hat{D}}) \cos(\sqrt{-b/2\hat{D}} + 2\theta)}{\sqrt{-b/2\hat{D}}}} \quad (12)$$

при $b = -\hat{f}(\hat{D}) - 1 < 0$, которые вместе с (6) определяют ВАХ. Здесь μ — подвижность носителей тока.

3. Результаты и обсуждение

Проиллюстрируем характеристики контакта с барьером Мотта при различных значениях эффективной высоты барьера $\Delta = 100, 50, 0$ и -50 meV. Другие параметры таковы: $D = 200$ nm, $T = 300$ K, $N_D = 5 \cdot 10^{17}$ cm $^{-3}$, $\mu = 4000$ cm 2 /V \cdot s. На рис. 2 приведены вольт-амперные и емкостные характеристики, а также зависимости дифференциального сопротивления R_d и коэффициента нелинейности $\beta = j''_{VV}/j'_V$ от напряжения. Для наглядности и возможности оценок зависимости $R_d(V)$ и $C(V)$ построены для площади контакта $S = 10$ μ m 2 , являющейся

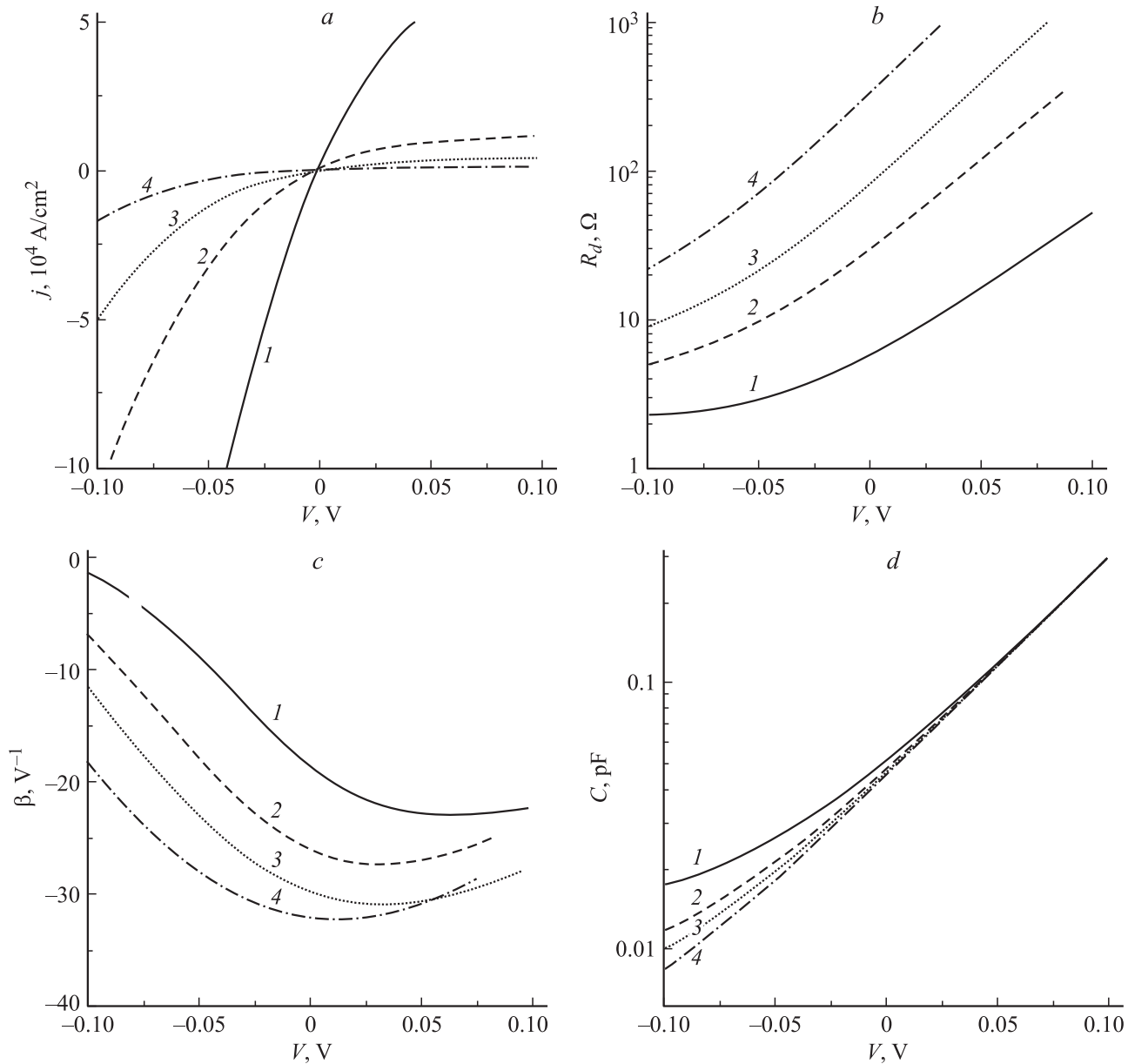


Рис. 3. Рассчитанные характеристики контакта Мотта в зависимости от приложенного смещения при различной толщине слоя. D , nm: 1 — 100, 2 — 200, 3 — 300, 4 — 500. a — плотность тока, b — дифференциальное сопротивление, c — коэффициент нелинейности, d — емкость. $\Delta = 50$ meV, $N_D = 5 \cdot 10^{17}$ cm⁻³, $T = 300$ K, $S = 10$ μ m².

типичной для диодов миллиметрового диапазона длин волн. Выбран сравнительно узкий диапазон напряжений, отвечающий малым токам, чтобы не учитывать влияние тока инжекции. Видно, что при уменьшении Δ происходит обращение направления выпрямления тока, меняется знак β , а R_d и C приобретают нарастающую экспоненциальную зависимость при положительных напряжениях смещения. Такое поведение связано с изменением механизма нелинейности контакта, поскольку определяющим становится нелинейный отклик пространственного заряда, инжектированного в i -слой. При тепловом равновесии это происходит при $\Delta < 100$ meV. При $\Delta = 0$ meV нелинейность является значительной: $|\beta(0)| \geq 30$ V⁻¹.

Из зависимости $R_d(V)$ можно оценить величину фактора, характеризующего нелинейность, $n_0 \approx 1.2$. В области экспоненциальной зависимости емкости от напряжения из (9), (10) находим, что

$$C = \frac{\varepsilon}{4\sqrt{2\pi}r_d} \sqrt{\frac{N_c}{N_D}} \exp\left(\frac{\hat{V} - \hat{\Delta}}{2}\right). \quad (13)$$

Видно, что характерный масштаб напряжения составляет $2kT/q$ и емкость не зависит от D и N_D . Последняя величина сокращается при явной записи r_d . Таким образом, при фиксированном напряжении в (13) входит единственный параметр контакта — Δ , остальные — константы полупроводника.

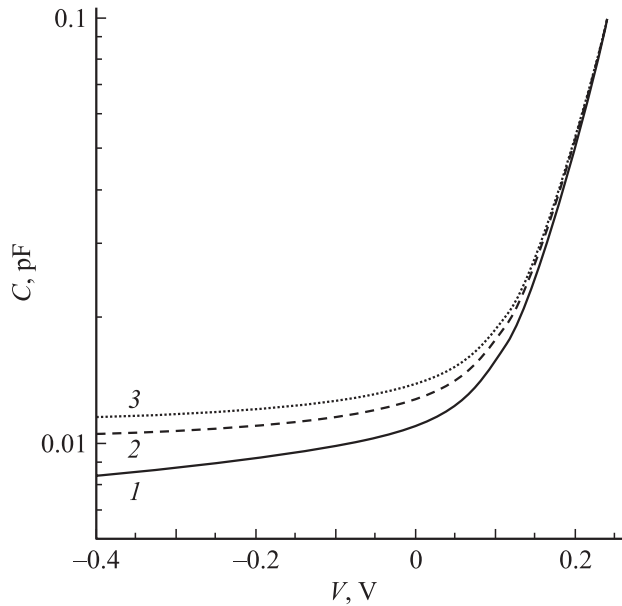


Рис. 4. Зависимость емкости контакта Мотта от приложенного смещения при различном уровне легирования подложки. N_D , cm^{-3} : 1 — $1 \cdot 10^{17}$, 2 — $5 \cdot 10^{17}$, 3 — $3 \cdot 10^{18}$. $\Delta = 250 \text{ meV}$, $D = 100 \text{ nm}$, $T = 300 \text{ K}$, $S = 10 \mu\text{m}^2$.

Изменяя толщину нелегированного слоя D , можно в определенных пределах модифицировать характеристики контактов. На рис. 3 показаны зависимости тока, дифференциального сопротивления, фактора нелинейности и емкости от напряжения при $\Delta = 50 \text{ meV}$, $T = 300 \text{ K}$, $N_D = 5 \cdot 10^{17} \text{ cm}^{-3}$, $\mu = 4000 \text{ cm}^2/\text{V} \cdot \text{s}$ и нескольких значениях $D = 100, 200, 300$ и 500 nm . При вычислениях $R_d(V)$ и $C(V)$ площадь контакта $S = 10 \mu\text{m}^2$. При увеличении D возрастают R_d и абсолютная величина β . Видно, что максимальные значения $|\beta|$ могут быть реализованы в области нулевых напряжений, что важно для детектирования с низким уровнем шума. При положительных смещениях концентрация инжектированных носителей велика, формируется виртуальный катод в i -слое и величина емкости (13) практически не зависит от D . При отрицательных напряжениях C приближается к геометрической емкости обедненного i -слоя.

Влияние уровня легирования n^+ -слоя на ВАХ и емкость контактов Мотта с ультрамалым барьером оказывается слабым. Следует лишь повторить, что при повышении уровня легирования до слабого вырождения n^+ -слоя сохраняется приемлемая точность расчетов [4]. Только при существенном повышении эффективной высоты барьера Δ происходит снижение концентрации носителей в i -слое и от N_D начинает в некоторой степени зависеть емкость контакта. На рис. 4 приведены зависимости $C(V)$ для такого случая: $\Delta = 250 \text{ meV}$, $D = 100 \text{ nm}$, $T = 300 \text{ K}$, $\mu = 4000 \text{ cm}^2/\text{V} \cdot \text{s}$, $S = 10 \mu\text{m}^2$, величина N_D изменяется от $1 \cdot 10^{17}$ до $3 \cdot 10^{18} \text{ cm}^{-3}$. Видно, что при изменении напряжения происходит переход от геометрической емкости обедненного i -слоя

(с учетом области экранирования поля в n^+ -слое) к резкой экспоненциальной зависимости при инжекции носителей тока.

4. Заключение

На основе аналитического решения для потенциала проанализированы токовые и емкостные характеристики контактов Мотта с ультрамалыми барьерами Δ порядка единиц kT . В этих условиях происходит смена механизма нелинейности контакта, определяющую роль начинает играть пространственный заряд носителей тока, инжектированных в i -область. Происходит обращение направления выпрямления тока. Для контакта металл– i -слой– n^+ -подложка дифференциальное сопротивление $R_d(V)$ и емкость $C(V)$ приобретают экспоненциальные зависимости от V вблизи нулевого напряжения смещения. Рост отвечает увеличению положительного потенциала на металле. При обратных смещениях ток приближается к линейной зависимости от напряжения, емкость стремится к величине, определяемой геометрическими характеристиками обедненного i -слоя. Важно заметить, что при нулевых напряжениях смещения контакт с ультрамалым барьером обладает сильной квадратичной нелинейностью. Величина фактора нелинейности $|\beta|$ сопоставима со значением $\beta \approx 38 \text{ V}^{-1}$ для идеального контакта Шоттки, но дифференциальное сопротивление оказывается на много порядков меньше. Другой особенностью контакта Мотта с ультрамалым барьером является сильная нелинейность емкости, которая должна учитываться при проектировании чувствительных детекторов или других приборов для приема и преобразования электромагнитного излучения.

Список литературы

- [1] N.F. Mott. Proc. Cambr. Philos. Soc. **34**, 568 (1938).
- [2] N.F. Mott. Proc. Roy. Soc. Ser. A **171**, 27 (1939).
- [3] E.H. Rhoderick, R.H. Williams. Metal–semiconductor contacts. Clarendon Press, Oxford (1988). 252 p.
- [4] В.И. Шашкин, А.В. Мурель. ФТП **50**, 519 (2008).
- [5] В.И. Шашкин, В.Л. Вакс, В.М. Данильцев, А.В. Масловский, А.В. Мурель, С.Д. Никифоров, Ю.И. Чеченин. Изв. вузов. Радиофизика **48**, 544 (2005).
- [6] V.I. Shashkin, Yu.A. Drjagin, V.R. Zakamov, S.V. Krivov, L.M. Kukin, A.V. Murel, Y.I. Chechenin. Int. J. Infrared Millimeter Waves **28**, 945 (2007).
- [7] В.И. Шашкин, А.В. Мурель, Ю.Н. Дроздов, В.М. Данильцев, О.И. Хрыкин. Микроэлектроника **26**, 57 (1997).
- [8] В.И. Шашкин, А.В. Мурель, В.М. Данильцев, О.И. Хрыкин. ФТП **36**, 537 (2002).
- [9] В.И. Шашкин, А.В. Мурель. ФТП **38**, 574 (2004).
- [10] E.F. Schubert, J.E. Conningham, W.T. Tsang, T.H. Chiu. Appl. Phys. Lett. **49**, 292 (1986).
- [11] D.W. Winston, R.E. Hayes. Proc. Int. Symp. on compound semic. San-Diego CA (1994). P. 747.